

# Alinhamento Múltiplo Progressivo de Sequências de Proteínas

Maria Angélica Lopes de Souza  
Orientador: Zanoni Dias

23 de julho de 2010

# Roteiro

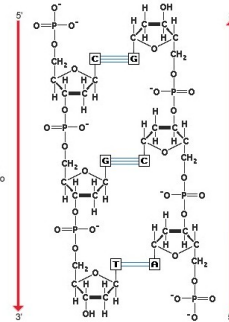
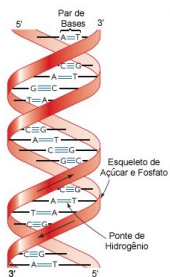
- ▶ Motivação
- ▶ Conceitos
- ▶ Alinhamento de Sequências
- ▶ Alinhamento Múltiplo Progressivo
- ▶ Alinhadores Progressivos
- ▶ Avaliação dos Alinhadores
- ▶ Conclusões e Trabalhos Futuros

# Motivação

- ▶ Grande volume de dados produzido pelos projetos de sequenciamento
- ▶ Necessidade de analisar dados produzidos
- ▶ Bioinformática
- ▶ Alinhamento de sequências

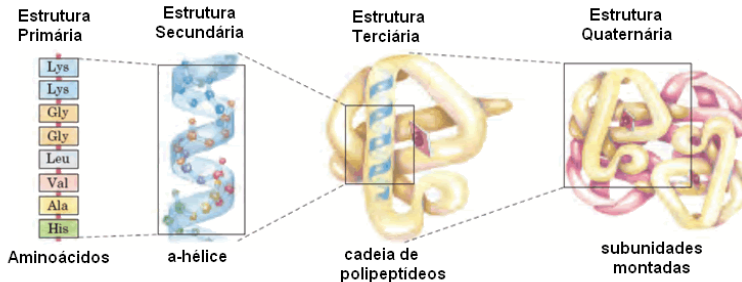
# DNA, RNA e Proteínas

- ▶ Genômica é a área da biologia que estuda o genoma de diferentes organismos
- ▶ DNA → RNA → Proteínas
- ▶ Proteômica



# DNA, RNA e Proteínas

- ▶ Genômica é a área da biologia que estuda o genoma de diferentes organismos
- ▶ DNA → RNA → Proteínas
- ▶ Proteômica



# Alinhamento de Sequências

- ▶ Entendimento da estrutura, função e evolução dos genes que compõem um organismo
- ▶ Busca posicionamento de bases iguais, ou semelhantes, em uma mesma coluna

Alinhamento das sequências CCAACTGGACACT e CGAACATGGAG:

CCAAC-TGGACACT

CGAACATGG--A-G

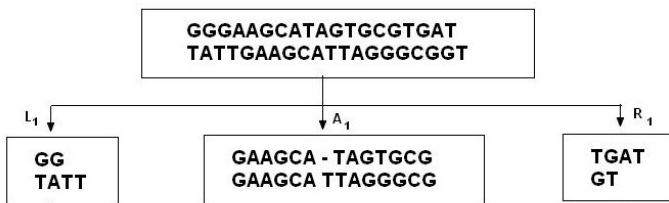
- ▶ Pontuação: *match*, *mismatch*, *gap*
- ▶ Alinhamento de Pares de Sequências
  - ▶ Global (Needleman e Wunsch, 1970)
  - ▶ Semi-Global
  - ▶ Local (Smith e Waterman, 1981)

## Alinhamento Local Recursivo

- ▶ Alinhar corretamente as partes bem conversadas das sequências
- ▶ Alinhamento local do par de sequências. Recursão à esquerda e à direita para as subsequências não alinhadas
- ▶ GGGAAAGCATAGTGCGTGAT e TATTGAAGCATTAGGGCGGT

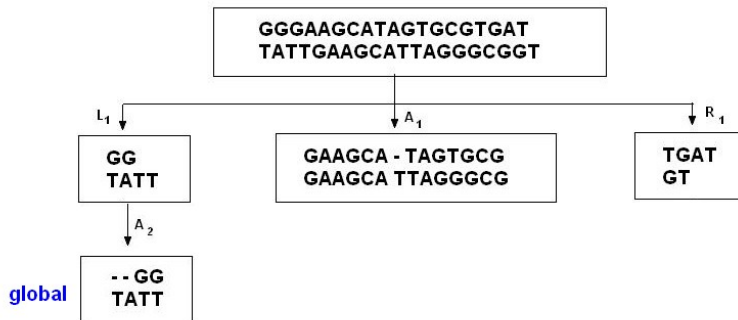
## Alinhamento Local Recursivo

- ▶ Alinhar corretamente as partes bem conversadas das sequências
- ▶ Alinhamento local do par de sequências. Recursão à esquerda e à direita para as subsequências não alinhadas
- ▶ GGGAAAGCATAGTGCGTGAT e TATTGAAGCATTAGGGCGGT



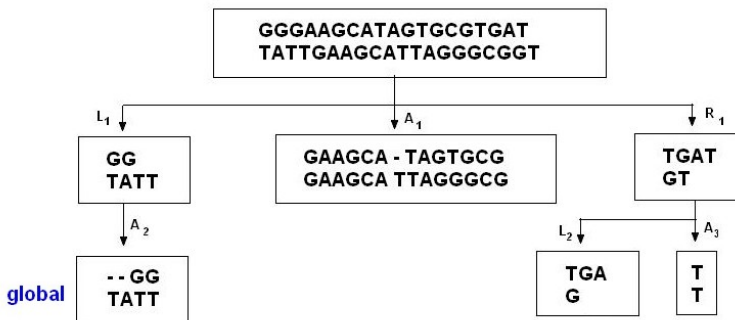
## Alinhamento Local Recursivo

- ▶ Alinhar corretamente as partes bem conversadas das sequências
- ▶ Alinhamento local do par de sequências. Recursão à esquerda e à direita para as subsequências não alinhadas
- ▶ GGGAAAGCATAGTGCGTGAT e TATTGAAGCATTAGGGCGGT



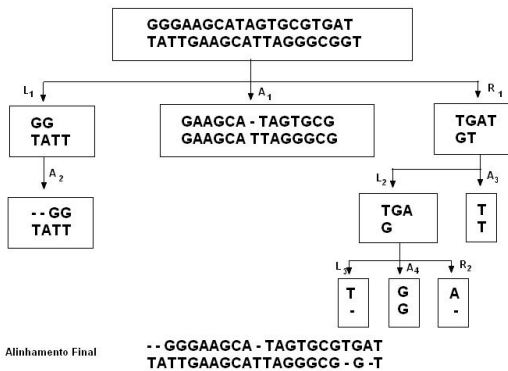
# Alinhamento Local Recursivo

- ▶ Alinhar corretamente as partes bem conversadas das sequências
- ▶ Alinhamento local do par de sequências. Recursão à esquerda e à direita para as subsequências não alinhadas
- ▶ GGGAAAGCATAGTGCGTGAT e TATTGAAGCATTAGGGCGGT



# Alinhamento Local Recursivo

- ▶ Alinhar corretamente as partes bem conversadas das sequências
- ▶ Alinhamento local do par de sequências. Recursão à esquerda e à direita para as subsequências não alinhadas
- ▶ GGGAAAGCATAGTGCCTGAT e TATTGAAGCATTAGGGCGGT



# Pontuação

- ▶ Linear:  $w(k) = \text{gap} \times k$
- ▶ Afim:  $w(k) = \text{gop} + \text{gep} \times k$
- ▶ Logarítmica:  $w(k) = \text{gop} + c \times \log(k)$
- ▶ Modelos de Substituição
  - ▶ PAM e BLOSUM
  - ▶ DCMut: Adaptação PAM
  - ▶ JTT: Jones-Taylor-Thornton
  - ▶ PMB: Matriz de Probabilidade de Blocos
  - ▶ Modelo de Categorias: adaptação do modelo de dois parâmetros de Kimura para proteínas

# Alinhamento Múltiplo de Sequências

- ▶ Encontrar características conservadas de famílias de proteínas
- ▶ Escolha das sequências, escolha da função objetivo e otimização da função objetivo
- ▶ Uma função objetivo matematicamente perfeita geralmente não é biologicamente perfeita
- ▶ Problema NP-Completo (Lusheng Wang e Tao Jiang, 1994)
- ▶ Heurísticas
  - ▶ Progressiva
  - ▶ Iterativa
  - ▶ Consistência
  - ▶ Consenso
  - ▶ Modelos
  - ▶ Blocos

# Alinhamento Múltiplo Progressivo

- ▶ Três etapas principais:
  - ▶ Computação da matriz de distâncias de pares de sequências
  - ▶ Construção da árvore guia
  - ▶ Geração do alinhamento múltiplo
- ▶ Clustal W, MUSCLE, Pileup e MultiAlign
- ▶ Sensível aos parâmetros utilizados
- ▶ Estratégia Gulosa

# Alinhadores Progressivos

- ▶ Implementamos 342 alinhadores
- ▶ Linguagem JAVA, uso da biblioteca Biojava
- ▶ Uso do PHYLIP e do R
- ▶ Combinação dos métodos para realizar as etapas do alinhamento progressivo

# Alinhadores Progressivos

- ▶ Implementamos 342 alinhadores
- ▶ Linguagem JAVA, uso da biblioteca Biojava
- ▶ Uso do PHYLIP e do R
- ▶ Combinação dos métodos para realizar as etapas do alinhamento progressivo

## Matriz de Distâncias

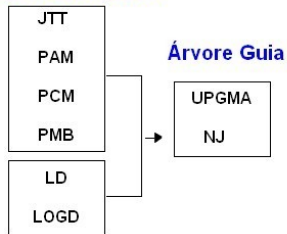
JTT  
PAM  
PCM  
PMB

LD  
LOGD

# Alinhadores Progressivos

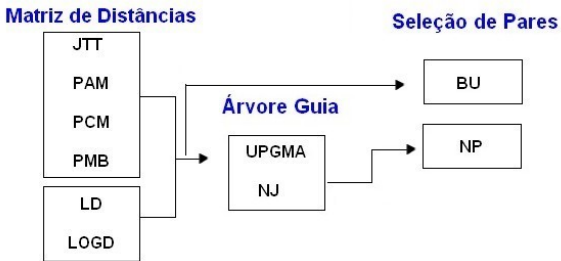
- ▶ Implementamos 342 alinhadores
- ▶ Linguagem JAVA, uso da biblioteca Biojava
- ▶ Uso do PHYLIP e do R
- ▶ Combinação dos métodos para realizar as etapas do alinhamento progressivo

## Matriz de Distâncias



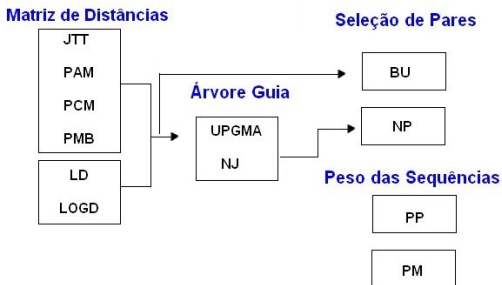
# Alinhadores Progressivos

- ▶ Implementamos 342 alinhadores
- ▶ Linguagem JAVA, uso da biblioteca Biojava
- ▶ Uso do PHYLIP e do R
- ▶ Combinação dos métodos para realizar as etapas do alinhamento progressivo



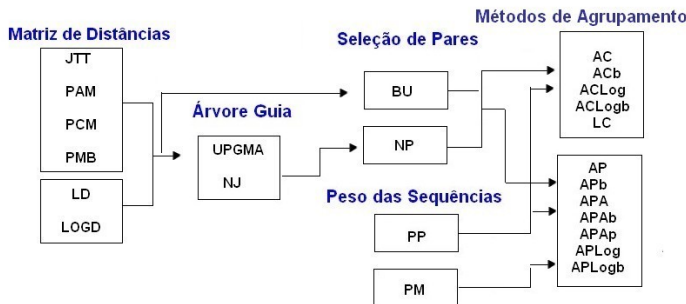
# Alinhadores Progressivos

- ▶ Implementamos 342 alinhadores
- ▶ Linguagem JAVA, uso da biblioteca Biojava
- ▶ Uso do PHYLIP e do R
- ▶ Combinação dos métodos para realizar as etapas do alinhamento progressivo



# Alinhadores Progressivos

- ▶ Implementamos 342 alinhadores
- ▶ Linguagem JAVA, uso da biblioteca Biojava
- ▶ Uso do PHYLIP e do R
- ▶ Combinação dos métodos para realizar as etapas do alinhamento progressivo



## Agrupamento por Consenso

- ▶ O agrupamento por consenso é baseado no alinhamento dos consensos dos alinhamentos de entrada

### Alinhamento 1:

SAPANAVAADNATAIALKYNDATKSERVAARPGLPPEEQHCADCQFMQADAAGATDEWKGCQLFPGKLIN  
 EDLPHVDAATNPPIAQSLHYIEDANASERNPVTKTELPSEQFCHNCSFIQADSGA----WRPCTLYPGYTVS  
 AAPLVAETDAN--AKSLGYVADTTKADK---TKYPKHTKDQSCSTCALYQ---GKTAPQGACPLFAGKEVV  
 MERLSED---DPAAQALEYRHDAS-----SVQHPAYEEGQTCLNC-LLYTDASAQ--DWGPCSVFPGKLVS

### Consenso 1:

SAPLNADAATNPTAQALHYIQDATKSERNPATKHPLPPEEQHCANCSFLQADAGGQTDDWGPCPLFPGKLVS

$$\text{score}(S) = \text{score}(S, S) + \text{score}(S, E) + \text{score}(S, A) + \text{score}(S, M) = 4 + 0 + 1 - 1 = 4$$

$$\text{score}(E) = \text{score}(E, S) + \text{score}(E, E) + \text{score}(E, A) + \text{score}(E, M) = 0 + 5 - 1 - 2 = 2$$

$$\text{score}(A) = \text{score}(A, S) + \text{score}(A, E) + \text{score}(A, A) + \text{score}(A, M) = 1 - 1 + 4 - 1 = 3$$

$$\text{score}(M) = \text{score}(M, S) + \text{score}(M, E) + \text{score}(M, A) + \text{score}(M, M) = -1 - 2 - 1 + 5 = 1$$

## Agrupamento por Consenso

Alinhamento 2:

QDLPPLDPSAEQAQALNYVKDTAEAADHPAHQEGERCDNCMFF-QADSQGCQL-----FPQNSVE  
-----EPRAEDGHAHDYVNEAADASGHPRYQEGQLCENCAFWFGEAVQDGWGRCTHPDFDEVLVK

Consenso 2:

QDLPPLDPRAEDGHAHNYVNDTADAADHPRHQEGQQCDNCMFWGQADQDGWGRCTHPDFPQNLVE  
Alinhamento dos consensos foi o seguinte:

SAPLNADAATNPTAQALHYIQDATKSERNPATKHPLPPEEQHCANCSFLQADAGGQTDDWGPC--PLFPGKLVS  
QDLPPLDPRAE-DGHAHNYVNDTA-----DAADHPRHQEGQQCDNCMFW---GQADQDGWGRCTHPDFPQNLVE

União dos alinhamentos:

SAPANAVAADNATAIALKYNQDATKSERVAAARPGLPPEEQHCADCQFMQADAAGATDEWKCC--QLFPGKLIN  
EDLPHVDAATNPIAQSLHYIEDANASERNPVTKTTELPGSEQFCHNCSFIQADSGA---WRPC--TLYPGYTVS  
AAPLVAETDAN--AKSLGYVADTTKADK---TKYPKHTKDQSCSTCALYQ---GKTAPQGAC--PLFAGKEVV  
MERLSED---DPAAQALEYRHDas-----SVQHPAYEEGQTCLNC-LLYTDASAQ--DWGPC--SVFPGKLVS  
QDLPPLDPSAE-QAQUALNYVKDTA-----EAADHPAHQEGERCDNCMFF----QADSQGCQL-----FPQNSVE  
-----EPRAE-DGHAHDYVNEAA-----DASGHPRYQEGQLCENCAFWF---GEAVQDGWGRCTHPDFDEVLVK

# Agrupamento por Perfil

- ▶ Alinha dois alinhamentos de entrada com base na pontuação dos pares de colunas.

SAPANAVAADNATAIALKYNQDATKSERVAARPGLPPEEQHCADCQFMQADAAG  
EDLPHVDAATNPPIAQSLHYIEDANASERNPVTKTELPGSEQFCHNCSFIQADSGA  
AAPLVAETDAN--AKSLGYVADTTKADK---TKYPKHTKDQSCSTCALYQ----G  
MERLSED---DPAQALEYRHDAS-----SVQHPAYEEGQTCLNC-LLYTDASA  
e,  
QDLPLLDPSAEQAQALNYVKDTAEAADHPAHQEGERCDNCMFF-QADSQG  
-----EPRAEDGHADYVNEAADASGHPRYQEGQLCENCAFGEAVQDG

# Agrupamento por Perfil

- ▶ Alinhamento da décima segunda coluna do primeiro alinhamento com a décima segunda do segundo alinhamento, respectivamente  $A, P, -, P$  e  $Q, D$ , cuja pontuação é:  

$$\begin{aligned} & score(A, Q) + score(A, D) + 2 \times score(P, Q) + 2 \times score(P, D) + \\ & score(-, Q) + score(-, D) = -1 - 2 + (2 \times -1) + (2 \times -1) - 8 - 8 = -23 \end{aligned}$$
- ▶ Alinhamento da décima segunda coluna do primeiro com *gaps*:  

$$6 \times gap + 2 \times score(gap, gap) = -48 + 0 = -48.$$
- ▶ Alinhamento da décima segunda coluna do segundo com uma coluna de *gaps*:  $8 \times gap = -64$ .

SAPANAVAADNATAIALKYNQDATKSERVAARPGGLPPEEQHCADCQFM-QADAAG  
 EDLPHVDAATNPIAQSLHYIEDANASERNPVTKTELPGSEQFCHNCSFI-QADSGA  
 AAPLVAETDAN--AKSLGYVADTTKADK---TKYPKHTKDQSCSTCALY-Q----G  
 MERLSED---DPAAQALEYRHDAS-----SVQHPAYEGQTCLNC-LL-YTDASA  
 QDLPPLDPSAEQ-AQALNYVKDTA--E---AADHPAHQEGERQCDNCMFF-QADSQG  
 -----EPRAED-GHAHDYVNEAA--D---ASGHPRYQEGQLCENCAFGEAVQDG

# Ajustes de Parâmetros

- ▶ Alta sensibilidade do alinhador de perfil em relação aos parâmetros de entrada
  - ▶ Matriz substituição: escolha pela similaridade das sequências
  - ▶ gop: Considera média dos valores excluindo a diagonal da matriz e tamanho das sequências
  - ▶ gep: Considera tamanho das sequências

# BALiBASE

- ▶ Banco de dados de alinhamentos múltiplos de sequências manualmente refinado
- ▶ Programa *bali\_score*, calcula pontuações de soma-de-pares (SP) e total de colunas (TC)
- ▶ Versão 3.0 do BALiBASE, possui sequências divididas em 5 conjuntos

# Escolha de Parâmetros

## Alinhamento Local Recursivo

- ▶ Porcentagem dos *core blocks* corretamente alinhados
- ▶ Combinação de todos os pares de sequências de cada um dos dez maiores arquivos de cada conjunto de referência do BALiBASE, totalizando 2903 pares.

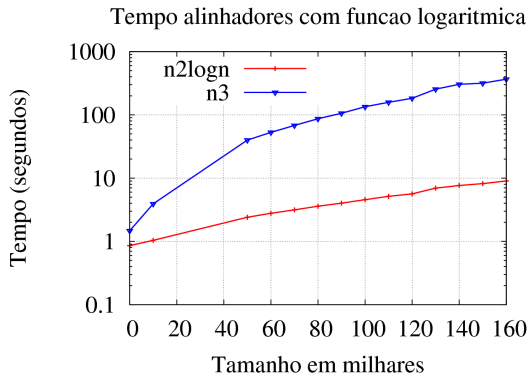
| Tamanho    | Média <i>mm</i> | Média <i>mM</i> | Média <i>MM</i> | Média <i>Total</i> |
|------------|-----------------|-----------------|-----------------|--------------------|
| 0          | 65,22           | 56,88           | 57,65           | 58,60              |
| 50         | 68,88           | 61,88           | 62,20           | 63,09              |
| <b>100</b> | <b>71,19</b>    | <b>65,09</b>    | <b>65,72</b>    | <b>66,29</b>       |
| 150        | 70,52           | 63,54           | 64,78           | 65,05              |
| 200        | 69,54           | 62,87           | 64,42           | 64,23              |
| Global     | 66,79           | 57,83           | 59,02           | 59,16              |

# Escolha de Parâmetros para Alinhamento de Perfil

- ▶ 5 grupos de sequências, cada um com seis conjuntos de sequências
- ▶ Média da pontuação de soma de pares em regiões *core blocks* contra os alinhamentos de referência do BALiBASE
- ▶ Pontuação Linear:
  - Global: deve utilizar BLOSUM 62 e *gap* -5
  - Semi-Global: deve usar BLOSUM 45 e *gap* -2
- ▶ Pontuação Afim:
  - Global: BLOSUM 55, *gop* -17 e *gep* -1
  - Semi-Global: BLOSUM 45, *gop* -10 e *gep* -1
- ▶ Pontuação Logarítmica:
  - Global: qualquer BLOSUM, exceto a 45, *gop* = -9 e *c* = -4
  - Semi-Global: qualquer BLOSUM, com *gop* = -8 e *c* = -5

# Algoritmo para Pontuação Logarítmica

Alinhamento de 237 pares de sequências, combinações de pares de sequência dos conjuntos BB11001.tfa, BB12020.tfa, BB20020.tfa e BB30017.tfa do BALiBASE



# Testes

- ▶ Entrada:  
RVS1, arquivos com menor número de sequências de cada um dos seis conjuntos do BALiBASE  
RVS2, arquivos com segundo menor número de sequências de cada um dos seis conjuntos do BALiBASE.
- ▶ Alinhadores:  
Grupo 1: todos os alinhadores. Tiveram como entrada o RVS1  
Grupo 2: 195 alinhadores, excluindo os que utilizam pontuação logarítmica. Tiveram como entrada RVS1 e RVS2
- ▶ Máquina Intel Core 2 Duo de 2.33GHz e 3GB de memória

# Tempo de Execução

Escolha pelas menores sequências de cada conjunto do BALiBASE devido ao alto tempo de processamento necessário para executar os 342 alinhadores implementados

| Método de Agrupamento | tempo RVS1 | tempo RVS2 |
|-----------------------|------------|------------|
| AC                    | 187,74     | 401,58     |
| ACb                   | 220,08     | 39,11      |
| ACLog                 | 192,33     | -          |
| ACLogb                | 191,45     | -          |
| LC                    | 92,18      | 356,35     |
| AP                    | 232,77     | 591,70     |
| APb                   | 143,80     | 152,20     |
| APA                   | 246,65     | 327,21     |
| APAb                  | 131,74     | 58,68      |
| APLog                 | 4013,65    | -          |
| APLogb                | 3681,00    | -          |
| APAp                  | 129,70     | 994,80     |

## Pontuações do Grupo 1

|                             | Método | Mínimo | Máximo | Média | Mediana |
|-----------------------------|--------|--------|--------|-------|---------|
| <b>Distância</b>            | JTT    | 52,40  | 82,87  | 70,44 | 71,53   |
|                             | PAM    | 49,87  | 82,13  | 69,79 | 70,87   |
|                             | PCM    | 52,50  | 83,40  | 70,47 | 70,73   |
|                             | PMB    | 52,33  | 82,63  | 70,42 | 71,67   |
|                             | LD     | 47,27  | 76,88  | 61,26 | 61,58   |
|                             | LOGD   | 39,07  | 73,22  | 54,93 | 52,73   |
| <b>Árvore</b>               | NJ     | 48,37  | 82,72  | 68,14 | 70,53   |
|                             | UP     | 39,07  | 83,40  | 65,33 | 67,00   |
| <b>Seleção de Pares</b>     | BU     | 47,02  | 82,08  | 65,99 | 65,92   |
|                             | NP     | 39,07  | 83,40  | 66,71 | 67,95   |
| <b>Agrupamento</b>          | AC     | 43,88  | 75,70  | 67,52 | 70,89   |
|                             | ACb    | 43,88  | 58,30  | 53,27 | 53,72   |
|                             | ACLog  | 58,88  | 74,50  | 69,04 | 72,19   |
|                             | ACLogb | 57,17  | 72,37  | 66,71 | 66,59   |
|                             | LC     | 57,18  | 68,18  | 62,19 | 61,92   |
|                             | AP     | 39,75  | 71,65  | 64,04 | 68,75   |
|                             | APb    | 39,75  | 57,83  | 53,17 | 54,50   |
|                             | APA    | 53,65  | 83,40  | 77,48 | 80,81   |
|                             | APAb   | 53,65  | 82,87  | 73,62 | 76,44   |
|                             | APAp   | 47,43  | 82,08  | 72,13 | 79,19   |
|                             | APLog  | 39,07  | 68,17  | 62,79 | 65,78   |
|                             | APLogb | 39,07  | 75,77  | 68,81 | 72,27   |
| <b>Média das Distâncias</b> | PM     | 45,43  | 82,63  | 68,22 | 69,47   |
|                             | PP     | 39,07  | 83,40  | 65,70 | 66,90   |

## Pontuações do Grupo 2

|                             | Método | Mínimo | Máximo | Média | Mediana |
|-----------------------------|--------|--------|--------|-------|---------|
| <b>Distância</b>            | JTT    | 42,22  | 67,39  | 55,72 | 55,00   |
|                             | PAM    | 42,26  | 66,84  | 55,82 | 59,01   |
|                             | PCM    | 41,82  | 67,11  | 55,72 | 56,38   |
|                             | PMB    | 42,08  | 66,16  | 55,50 | 55,10   |
|                             | LD     | 31,26  | 62,21  | 44,50 | 44,41   |
| <b>Árvore</b>               | NJ     | 32,77  | 65,29  | 52,66 | 52,92   |
|                             | UP     | 31,26  | 67,39  | 53,26 | 52,85   |
| <b>Seleção de Pares</b>     | BU     | 36,14  | 67,11  | 52,00 | 51,66   |
|                             | NP     | 31,26  | 67,39  | 52,96 | 52,92   |
| <b>Agrupamento</b>          | AC     | 48,18  | 56,73  | 53,76 | 54,29   |
|                             | ACb    | 41,59  | 48,81  | 45,33 | 45,56   |
|                             | LC     | 44,61  | 52,65  | 49,37 | 49,01   |
|                             | AP     | 40,62  | 53,97  | 50,40 | 51,76   |
|                             | APb    | 31,26  | 44,78  | 41,33 | 42,53   |
|                             | APA    | 54,23  | 65,29  | 62,95 | 63,67   |
|                             | APAb   | 42,88  | 67,39  | 60,70 | 63,34   |
|                             | APAp   | 32,87  | 64,83  | 52,04 | 60,88   |
| <b>Média das Distâncias</b> | PM     | 31,49  | 67,07  | 53,93 | 53,71   |
|                             | PP     | 31,26  | 67,39  | 51,93 | 51,67   |

# Melhores Alinhadores do Grupo 1

| Alinhador | SP    | TC    | MD  | AG | SP | MA   | PS |
|-----------|-------|-------|-----|----|----|------|----|
| 125       | 83,40 | 64,67 | PCM | UP | NP | APA  | PP |
| 053b      | 82,87 | 64,00 | JTT | UP | NP | APAb | PP |
| 137       | 82,72 | 64,50 | PCM | NJ | NP | APA  | PP |
| 53        | 82,67 | 64,83 | JTT | UP | NP | APA  | PP |
| 077b      | 82,63 | 63,00 | PMB | UP | NP | APAb | PP |
| 77        | 82,43 | 64,17 | PMB | UP | NP | APA  | PP |
| 114       | 82,13 | 63,50 | PAM | NJ | NP | APA  | PM |
| 113       | 82,08 | 64,17 | PAM | NJ | NP | APA  | PP |
| 59p       | 82,08 | 64,50 | JTT | –  | BU | APA  | PP |
| 83p       | 82,05 | 65,50 | PMB | –  | BU | APA  | PP |
| 65        | 82,03 | 64,17 | JTT | NJ | NP | APA  | PP |

- ▶ Destaque para agrupamento de perfil com pontuação afim ou agrupamento de perfil semi-global com pontuação afim
- ▶ Par mais próximo é superior ao Bloco Único
- ▶ Melhor desempenho quando média das distâncias desativada

## Melhores Alinhadores do Grupo 2

| Alinhador | SP    | TC    | MD  | AG | SP | MA   | PS |
|-----------|-------|-------|-----|----|----|------|----|
| 53b       | 67,39 | 43,42 | JTT | UP | NP | APAb | PP |
| 131b      | 67,11 | 42,33 | PCM | -  | BU | APAb | PP |
| 132b      | 67,07 | 41,42 | PCM | -  | BU | APAb | PM |
| 101b      | 66,84 | 42,58 | PAM | UP | NP | APAb | PP |
| 77b       | 66,16 | 42,00 | PMB | UP | NP | APAb | PP |
| 83b       | 65,70 | 40,08 | PMB | -  | BU | APAb | PP |
| 60b       | 65,47 | 41,25 | JTT | -  | BU | APAb | PM |
| 66        | 65,29 | 42,92 | JTT | NJ | NP | APA  | PM |
| 138       | 65,24 | 42,25 | PCM | NJ | NP | APA  | PM |
| 90        | 65,22 | 42,58 | PMB | NJ | NP | APA  | PM |

- ▶ Alinhadores de perfil com pontuação afim, e os de perfil semi-global com pontuação afim foram os melhores
- ▶ Métodos para determinar de distância apresentam-se bem distribuídos

# Piores Alinhadores do Grupo 1

| Alinhador | SP    | TC    | MD   | AG | SP | MA     | PS |
|-----------|-------|-------|------|----|----|--------|----|
| 329       | 47,02 | 6,83  | LOGD | –  | BU | AC     | PP |
| 329b      | 47,02 | 6,83  | LOGD | –  | BU | ACb    | PP |
| 324       | 45,43 | 19,00 | LOGD | UP | NP | AP     | PM |
| 324b      | 45,43 | 19,00 | LOGD | UP | NP | APb    | PM |
| 321       | 43,88 | 7,17  | LOGD | UP | NP | AC     | PP |
| 321b      | 43,88 | 7,17  | LOGD | UP | NP | ACb    | PP |
| 323       | 39,75 | 13,83 | LOGD | UP | NP | AP     | PP |
| 323b      | 39,75 | 13,83 | LOGD | UP | NP | APb    | PP |
| 327       | 39,07 | 26,83 | LOGD | UP | NP | APLog  | PP |
| 327b      | 39,07 | 26,83 | LOGD | UP | NP | APLogb | PP |

- ▶ Baixo desempenho da distância logarítmica e do UPGMA

## Piores Alinhadores do Grupo 2

| Alinhador | SP    | TC    | MD | AG | SP | MA  | PS |
|-----------|-------|-------|----|----|----|-----|----|
| 153       | 40,68 | 18,08 | LD | –  | BU | AP  | PP |
| 147       | 40,62 | 18,08 | LD | UP | NP | AP  | PP |
| 153b      | 39,14 | 15,64 | LD | –  | BU | APb | PP |
| 162p      | 38,13 | 18,67 | LD | NJ | NP | APA | PM |
| 161p      | 37,98 | 19,5  | LD | NJ | NP | APA | PP |
| 154b      | 37,32 | 14,83 | LD | –  | BU | APb | PM |
| 160b      | 35,65 | 14,83 | LD | NJ | NP | APb | PM |
| 159b      | 32,77 | 14,58 | LD | NJ | NP | APb | PP |
| 148b      | 31,49 | 13,08 | LD | UP | NP | APb | PM |
| 147b      | 31,26 | 12,83 | LD | UP | NP | APb | PP |

- ▶ Baixo desempenho da distância local aliada ao alinhamento de perfil semi-global

## Avaliação dos Alinhadores

- ▶ Alinhamento local recursivo melhorou com a inclusão do limite mínimo de tamanho para o alinhamento local, 7,35% para a pontuação SP, mas não superou o alinhamento de perfil
- ▶ Ajustes de Parâmetros proporcionaram um pequeno aumento de pontuação para as entradas individualmente.

# Conclusões

- ▶ Estudo dos métodos para construção do Alinhamento Progressivo
- ▶ Estudo empírico para determinar os parâmetros
- ▶ Implementação e avaliação de 342 alinhadores progressivos
- ▶ Agrupamento por perfil com pontuação afim obtiveram melhores desempenhos.
- ▶ Destaque para os alinhadores de consenso com pontuação logarítmica.
- ▶ Os métodos do PHYLIP para determinar a matriz de distâncias, os métodos para construção da árvore e os métodos para seleção de pares, apresentaram-se bem equilibrados

## Trabalhos Futuros

- ▶ Utilização de técnicas como o *bootstrapping* para melhorar a árvore guia
- ▶ Estudo em relação à penalidade de alinhamentos de pares de *gaps*
- ▶ Uso de estratégias iterativas para refinar os alinhamentos produzidos. Alinhamentos produzidos para cada arquivo de entrada podem ser usados como população para os algoritmos genéticos.

# Alinhamento Múltiplo Progressivo de Sequências de Proteínas

Maria Angélica Lopes de Souza  
Orientador: Zanoni Dias

23 de julho de 2010